

บทที่ 4

การออกแบบวงจรกรองกำลังแอกทีฟแบบขานและระบบควบคุม สำหรับระบบไฟฟ้ากระแสสลับแบบเฟสร่วม

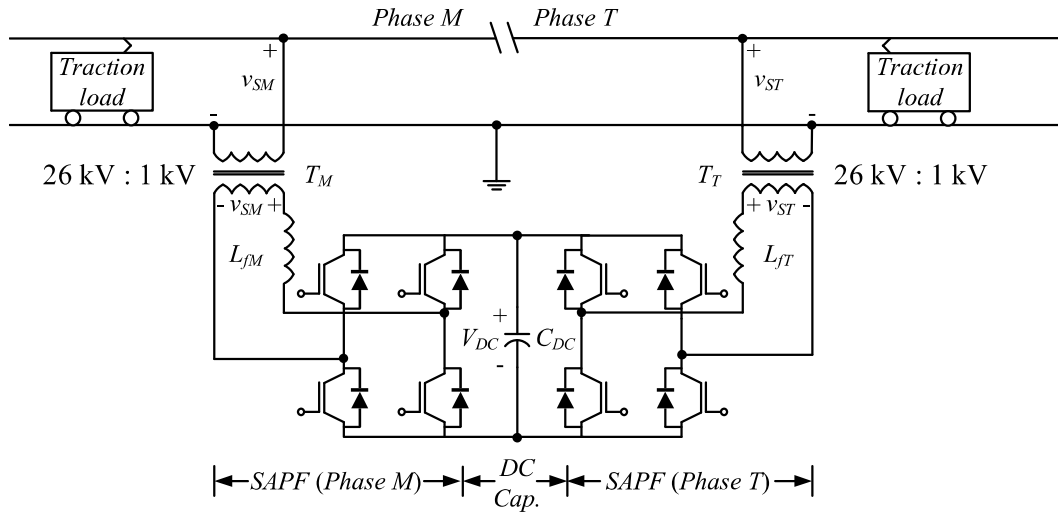
4.1 กล่าวนำ

การกำจัดหาร์มอนิกในระบบรางไฟฟ้ากระแสสลับแบบเฟสร่วมด้วยวงจรกรองกำลังแอกทีฟแบบขานจำเป็นต้องมีการออกแบบวงจรและระบบควบคุมที่เหมาะสมเพื่อให้สามารถฉีดกระแสเขย่าที่มีลักษณะคล้ายตามกบกระแสอ้างอิงที่ได้จากส่วนการตรวจจับหาร์มอนิกด้วยวิธี PQF ในบทนี้จึงนำเสนอโครงสร้างของวงจรกรองกำลังแอกทีฟแบบขาน การออกแบบค่าพารามิเตอร์ของวงจรกรองกำลังแอกทีฟแบบขาน การออกแบบระบบควบคุม รวมไปถึงการทดสอบสมรรถนะการกำจัดหาร์มอนิกของวงจรกรองกำลังแอกทีฟแบบขานและระบบควบคุมที่ได้จากการออกแบบโดยรายละเอียดโครงสร้างของวงจรกรองกำลังแอกทีฟแบบขานจะนำเสนอในหัวข้อที่ 4.2 การออกแบบตัวเหนี่ยวนำของวงจรกรองกำลังแอกทีฟแบบขานจะนำเสนอในหัวข้อที่ 4.3 การออกแบบตัวเก็บประจุของวงจรกรองกำลังแอกทีฟแบบขานจะนำเสนอในหัวข้อที่ 4.4 การออกแบบระบบควบคุมกระแสเขย่าจะนำเสนอในหัวข้อที่ 4.5 การออกแบบระบบควบคุมแรงดันบัสไฟตรงจะนำเสนอในหัวข้อที่ 4.6 และผลการจำลองสถานการณ์เพื่อทดสอบการกำจัดหาร์มอนิกในระบบรางไฟฟ้ากระแสสลับแบบเฟสร่วมที่พิจารณาจะนำเสนอในหัวข้อที่ 4.7

4.2 โครงสร้างของวงจรกรองกำลังแอกทีฟแบบขาน

ลักษณะโครงสร้างของวงจรกรองกำลังแอกทีฟแบบขานที่สามารถใช้ในการกำจัดหาร์มอนิกในระบบรางไฟฟ้ากระแสสลับแบบเฟสร่วมที่พิจารณาสามารถแบ่งออกเป็น 2 ลักษณะโครงสร้าง คือ โครงสร้างแบบตัวเก็บประจุแยก และโครงสร้างแบบตัวเก็บประจุร่วม (ฐานันดร์, 2564) โดยในงานวิจัยที่ยานิพนธ์นี้ได้เลือกใช้วงจรกรองกำลังแอกทีฟแบบขานที่มีโครงสร้างแบบตัวเก็บประจุร่วม เนื่องจากโครงสร้างดังกล่าวใช้ตัวเก็บประจุเพียงตัวเดียวซึ่งง่ายต่อการควบคุมระดับแรงดัน และยังเป็นการลดต้นทุนในการสร้างระบบกำจัดหาร์มอนิกด้วยวงจรกรองกำลังแอกทีฟแบบขานอีกด้วย โดยโครงสร้างของวงจรกรองกำลังแอกทีฟแบบขานดังกล่าวสามารถแสดงได้ดังรูปที่ 4.1 ซึ่งประกอบไปด้วยวงจรอินเวอร์เตอร์แบบแหล่งจ่ายแรงดัน (Voltage Source Inverter : VSI) จำนวน 2 ชุดที่มีแหล่งสะสมพลังงานเป็นตัวเก็บประจุ (C_{DC}) ร่วมกันจำนวน 1 ตัว โดยแต่ละชุดจะมีการเชื่อมต่อกับอุปกรณ์ IGBT จำนวน 4 ตัวที่ต่อ กันในรูปแบบวงจรบริเด็จ นอกจากนี้ยังมีตัวเหนี่ยวนำของวงจรกรองกำลังแอกทีฟแบบขาน (L_M, L_{JT}) จำนวน 2 ตัว และเนื่องจากที่ระบบไฟฟ้ากำลังสองเฟสของระบบรางไฟฟ้ากระแสสลับแบบเฟสร่วมที่พิจารณา มีพิกัดแรงดันไฟฟ้าที่สูง (26 kV) จึงมีการต่อใช้

หม้อแปลงไฟฟ้าแบบเชิงเส้นหนึ่งเฟส (single-phase linear transformer) (T_M, T_T) เพื่อลดระดับแรงดันไฟฟ้าเหลือ 1 kV ซึ่งเป็นการช่วยลดขนาดพิภัตของวงจรกรองกำลังแอกทีฟแบบขานาน



รูปที่ 4.1 วงจรกรองกำลังแอกทีฟแบบขานานที่มีโครงสร้างแบบตัวเก็บประจุร่วม

4.3 การออกแบบตัวเหนี่ยวนำของวงจรกรองกำลังแอกทีฟแบบขานาน

การออกแบบตัวเหนี่ยวนำของวงจรกรองกำลังแอกทีฟแบบขานาน (L_{fM}, L_{fT}) จะใช้วิธีการของ D.M.E. Ingram and S.D. Round (Ingram and. Round, 1997) โดยวิธีดังกล่าวจะให้ผลการออกแบบเป็นค่าขอบเขตสูงสุดของขนาดตัวเหนี่ยวนำ ($L_{f(max)}$) จากนั้นจึงพิจารณาเลือกใช้ตัวเหนี่ยวนำที่มีค่าอยู่ภายใต้ค่าขอบเขตดังกล่าว การออกแบบด้วยวิธีการของ D.M.E. Ingram and S.D. Round จะอาศัยค่ากระแสโหลดของระบบที่พิจารณาในการออกแบบ นอกจากนี้เนื่องจากระบบรางไฟฟ้าที่พิจารณามีขนาดกระยะและโหลดทั้งสองเฟส (i_{LM}, i_{LT}) เท่ากัน ดังนั้นค่า $L_{f(max)}$ ที่ได้จากการออกแบบของทั้งสองเฟส (เฟส M และ T) จึงมีขนาดเท่ากัน โดยสามารถอธิบายรายละเอียดขั้นตอนการออกแบบได้ดังนี้

ขั้นตอนที่ 1 ทำการคำนวณหาอัตราการเปลี่ยนแปลงสูงสุดของกระแสอ้างอิงเทียบกับเวลา ($\max(\frac{di_C^*}{dt})$) ซึ่งจะประมาณค่าโดยใช้ค่าองค์ประกอบ harmonic อนิกของกระแสโหลด ($i_h(t)$) ที่ทำให้ $\max(\frac{di_C^*}{dt})$ มีค่าสูงที่สุด โดยสามารถคำนวณค่า $\max(\frac{di_C^*}{dt})$ ได้จากสมการที่ (4.1) และ (4.2)

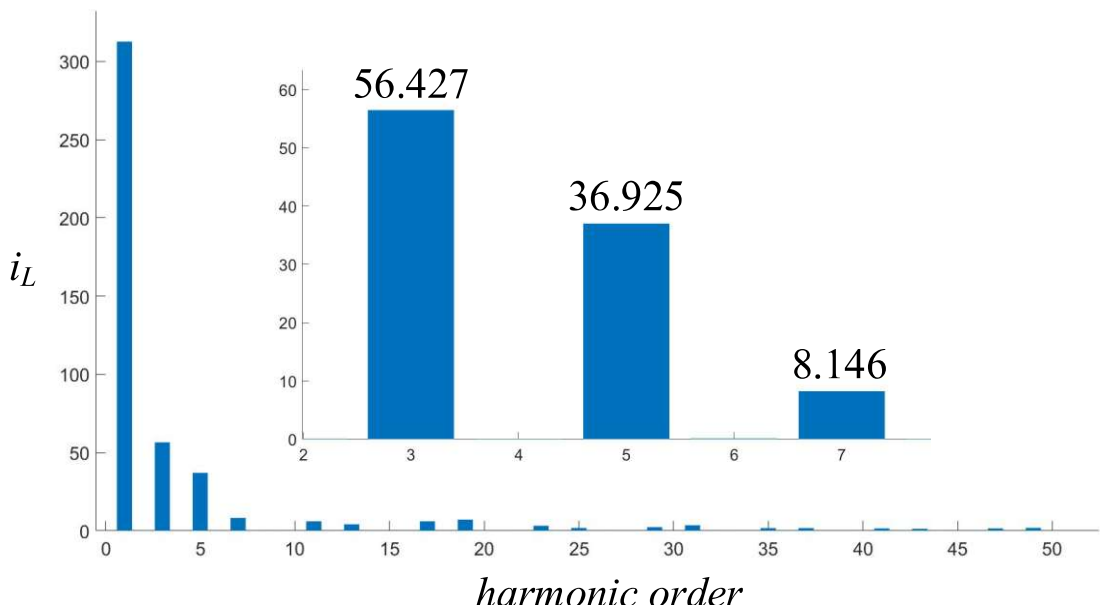
$$i_h(t) = A \sin(2\pi f t) \quad (4.1)$$

$$\max\left(\frac{di_c^*}{dt}\right) = A2\pi f \quad (4.2)$$

โดยที่ A คือ ค่าแอมป์ลิจูดของกระแสเสียงมอนิกในยันต์ที่ทำให้ $\max\left(\frac{di_c^*}{dt}\right)$ มีค่าสูงที่สุด (A)

f คือ ความถี่ของอันดับฮาร์มอนิกที่ทำให้ $\max\left(\frac{di_c^*}{dt}\right)$ มีค่าสูงที่สุด (Hz)

การพิจารณาเลือกค่าองค์ประกอบฮาร์มอนิกที่ทำให้ $\max\left(\frac{di_c^*}{dt}\right)$ มีค่าสูงที่สุดจะพิจารณาจากกราฟスペกตรัมของกระแสไฟฟ้าของประเทศไทย (Sy-Ruen and Bing-Nan, 2002) ที่พิจารณาดังแสดงในรูปที่ 4.2



รูปที่ 4.2 สเปกตรัมของกระแสไฟฟ้าที่พิจารณาจำกัดฮาร์มอนิก

จากรูปที่ 4.2 เมื่อพิจารณากระแสอาร์มอนิกในอันดับที่ 3 ($f = 180 \text{ Hz}$) กระแสอาร์มอนิกในอันดับที่ 5 ($f = 300 \text{ Hz}$) และกระแสอาร์มอนิกในอันดับที่ 7 ($f = 420 \text{ Hz}$) พบว่ากระแสอาร์มอนิกทั้ง 3 อันดับมีขนาดแอมเพลจูดเท่ากับ 56.427 A 36.925 A และ 8.146 A ตามลำดับซึ่งสามารถคำนวณการคำนวนหาค่า $\max\left(\frac{di_C^*}{dt}\right)$ ของแต่ละอันดับอาร์มอนิกได้ดังนี้

$$\text{oันดับที่ 3 : } \max\left(\frac{di_C^*}{dt}\right) = A2\pi f = 56.42 \times 2\pi \times 180 = 63,810 \text{ A/s}$$

$$\text{oันดับที่ 5 : } \max\left(\frac{di_C^*}{dt}\right) = A2\pi f = 36.93 \times 2\pi \times 300 = 69,611 \text{ A/s}$$

$$\text{oันดับที่ 7 : } \max\left(\frac{di_C^*}{dt}\right) = A2\pi f = 8.146 \times 2\pi \times 420 = 21,497 \text{ A/s}$$

จากการคำนวณในข้างต้นพบว่าที่อาร์มอนิกอันดับที่ 5 จะให้ค่า $\max\left(\frac{di_C^*}{dt}\right)$ ที่สูงที่สุดซึ่งมีค่าเท่ากับ 69,611 A/s อย่างไรก็ตามเนื่องจากโครงสร้างของวงจรกรองกำลังแยกที่ไฟแบบขนานมีการใช้หม้อแปลงเชิงเส้นหนึ่งเฟสเพื่อปรับลดระดับพิกัดแรงดันไฟฟ้าที่ระบบไฟฟ้ากำลังสองเฟส (26 kV : 1 kV) ดังปรากฏในรูปที่ 4.1 ซึ่งส่งผลต่อขนาดของกระแสที่ไหลผ่านตัวเหนี่ยวนำทางด้านผิวแรงต่ำของหม้อแปลงไฟฟ้าให้มีขนาดกระแสสูงขึ้น 26 เท่าของกระแสเดิมที่ได้จากการคำนวนตรวจสอบจับอาร์มอนิกตามอัตราส่วนของหม้อแปลง ดังนั้นเมื่อพิจารณาผลจากการใช้หม้อแปลงไฟฟ้าเชิงเส้นหนึ่งเฟสจะสามารถคำนวณค่า $\max\left(\frac{di_C^*}{dt}\right)$ ใหม่ได้เท่ากับ 1,809,886 A/s โดยสามารถแสดงการคำนวณได้ดังนี้

$$\max\left(\frac{di_C^*}{dt}\right) = 26 \times A2\pi f = 26 \times 36.93 \times 2\pi \times 300 = 1,809,886 \text{ A/s}$$

ขั้นตอนที่ 2 คำนวณค่าของเบตสูงสุดของขนาดตัวเหนี่ยวนำ ($L_{f(\max)}$) โดยสามารถคำนวณได้จากสมการที่ (4.3)

$$L_{f(\max)} = \frac{V_{DC} - V_S}{\max\left(\frac{di_C^*}{dt}\right)} \quad (4.3)$$

โดยที่ V_{DC} คือ ค่าแรงดันบัสไฟตรงของวงจรกรองกำลังแยกทีฟแบบขานาน

V_S คือ ค่ายอดของแรงดันไฟฟ้าที่เหลือจ่ายผ่านแรงต้านของหม้อแปลงเชิงเส้นหนึ่งเฟส (V_{SM}, V_{ST})

จากสมการที่ 4.3 จะทำการกำหนดค่า V_{DC} ด้วยวิธีของ T. Thomas and et al. (Thomas T, Haddad K, Joos G, Jaafari A., 1998) คือ ค่า V_{DC} ต้องมีขนาดเท่ากับ หรือมากกว่าค่ายอดแรงดันของผู้ที่แรงต้านของหม้อแปลงเชิงเส้นหนึ่งเฟส ($V_S = 1,414$ V) โดยในงานวิจัยวิทยานิพนธ์จะกำหนดให้ V_{DC} มีค่าเท่ากับ 1,700 V และสามารถคำนวณค่า $L_{f(\max)}$ ได้เท่ากับ 0.157 mH โดยสามารถแสดงรายละเอียดการคำนวณได้ดังนี้

$$L_{f(\max)} = \frac{V_{DC} - V_S}{\max\left(\frac{di_C^*}{dt}\right)} = \frac{1,700 - 1414}{1,809,886} = 0.157 \times 10^{-3} = 0.157 \text{ mH}$$

ขั้นตอนที่ 3 ทำการเลือกขนาดตัวเหนี่ยวนำ โดยจะต้องเลือก L_f (L_{fM}, L_{fT}) ที่มีขนาดไม่เกิน $L_{f(\max)}$ ซึ่งมีค่าเท่ากับ 0.157 mH ดังนั้นในงานวิจัยวิทยานิพนธ์นี้จึงเลือกใช้ L_f มีค่าเท่ากันทั้งสองเฟสเท่ากับ 0.15 mH

4.4 การออกแบบตัวเก็บประจุของวงจรกรองกำลังแอคทีฟแบบขنان

การออกแบบตัวเก็บประจุของวงจรกรองกำลังแอคทีฟแบบขنان (C_{DC}) จะใช้วิธีการของ Thomas T. and et al. (Thomas T, Haddad K, Joos G, Jaafari A., 1998) โดยวิธีดังกล่าวจะให้ผลการออกแบบเป็นค่าขอบเขตต่ำสุดของขนาดตัวเก็บประจุ ($C_{DC(\min)}$) จากนั้นจึงพิจารณาเลือกใช้ตัวเก็บประจุที่มีขนาดมากกว่าขอบเขตดังกล่าวสำหรับใช้เป็นแหล่งสมพลังงานของวงจรกรองกำลังแอคทีฟแบบขنانดังแสดงในรูปที่ 4.1 โดยสามารถคำนวณค่า $C_{DC(\min)}$ ได้จากสมการที่ (4.4)

$$C_{DC(\min)} = \frac{\Delta \left[\int v_s \times i_C^* dt \right]}{\Delta V_{DC} \times V_{DC}^*} \quad (4.4)$$

โดยที่ $\Delta \left[\int v_s \times i_C^* dt \right]$ คือ ค่าการกระแสเพื่อมของผลรวมค่าแรงดันไฟฟ้าที่ระบบไฟฟ้ากำลังสองเฟส (v_s) คูณกับกระแสอ้างอิง (i_C^*)

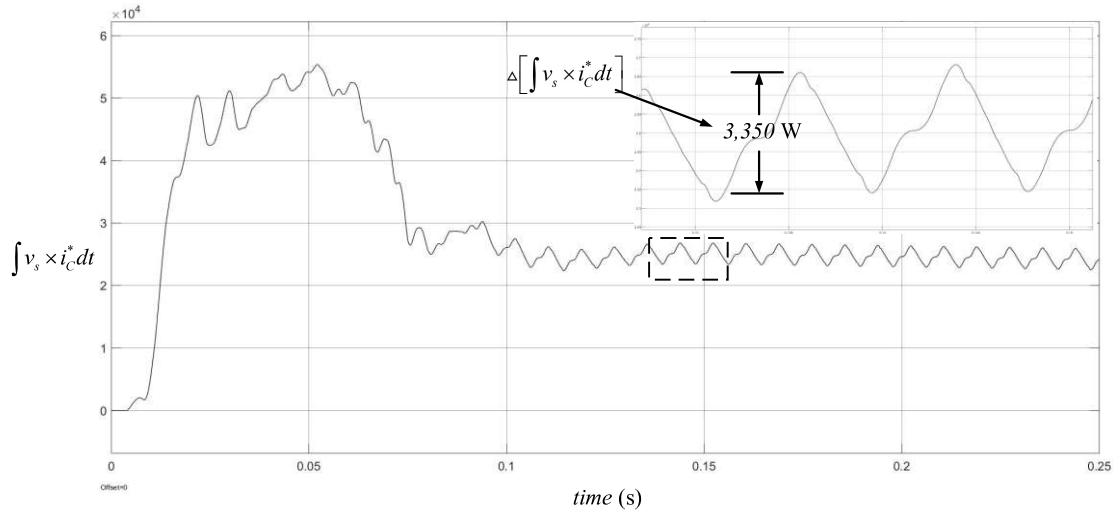
ΔV_{DC} คือ ค่าแรงดันกระเพื่อมของแรงดันบัสไฟตรง

V_{DC}^* คือ ค่าแรงดันบัสไฟตรงอ้างอิง

จากระบบรางไฟฟ้าที่พิจารณาสามารถแสดงกราฟของผลรวมของค่าแรงดัน v_s คูณกับกระแส i_C^* ($\int v_s \times i_C^* dt$) ได้ดังรูปที่ 4.3 โดยจะเห็นว่าค่าการกระแสเพื่อมของผลรวมดังกล่าว ($\Delta \left[\int v_s \times i_C^* dt \right]$) มีค่าประมาณ 3,350 w และสำหรับค่าการกระแสเพื่อมของแรงดันบัสไฟตรง (ΔV_{DC}) จะกำหนดให้อยู่ภายใต้ขอบเขตที่ยอมรับได้ โดยกำหนดให้มีค่าเป็น 2% ของค่า V_{DC} (1,700 V) ซึ่งคิดเป็นค่าแรงดันเท่ากับ 34 V จากการกำหนดค่าดังกล่าวจะสามารถคำนวณค่า $C_{DC(\min)}$ ได้เท่ากับ 58 mF ซึ่งแสดงรายละเอียดการคำนวณได้ดังนี้

$$C_{DC(\min)} = \frac{\Delta \left[\int v_s \times i_C^* dt \right]}{\Delta V_{DC} \times V_{DC}^*} = \frac{3,350}{34 \times 1,700} = 58 \text{ mF}$$

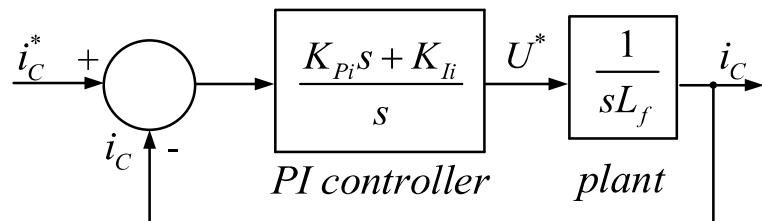
จากการคำนวณออกแบบในข้างต้นจะต้องเลือก C_{DC} ที่มีขนาดมากกว่า $C_{DC(\min)}$ ซึ่งมีค่าเท่ากับ 58 mF ดังนั้นในงานวิจัยวิทยานิพนธ์นี้จึงเลือกใช้ C_{DC} มีค่าเท่ากับ 80 mF



รูปที่ 4.3 ผลรวมผลคุณของแรงดันไฟฟ้าที่แหล่งจ่ายระบบไฟฟ้ากำลังสองเฟสและกระแสอ้างอิง

4.5 การออกแบบระบบควบคุมกระแสเดี่ยว

ในบทนี้จะพิจารณาใช้ตัวควบคุมพีไอสำหรับการออกแบบระบบควบคุมกระแสเดี่ยวของวงจรรองกำลังแยกที่ฟแบบขานในระบบบرجไฟฟ้าที่พิจารณา เพื่อศึกษาทำความเข้าใจการทำงานของระบบควบคุมกระแสเดี่ยว รวมไปถึงศึกษาการออกแบบระบบควบคุมกระแสเดี่ยวก่อนเนื่องจากตัวควบคุมดังกล่าวมีความซับซ้อนที่น้อย และง่ายต่อการออกแบบ โดยโครงสร้างของระบบควบคุมกระแสเดี่ยวด้วยตัวควบคุมพีไอสามารถแสดงเป็นล็อกไดอะแกรมได้ดังรูปที่ 4.4



รูปที่ 4.4 บล็อกไดอะแกรมระบบควบคุมกระแสเดี่ยวด้วยตัวควบคุมพีไอ

จากรูปที่ 4.4 อินพุตที่ถูกป้อนให้กับตัวควบคุมพีไอ (PI controller) และพลาณ์ (plant) ของระบบ คือ ผลต่างของค่ากระแสอ้างอิง (i_C^*) ที่ได้จากการคำนวณตรวจจับ荷าร์มอนิกด้วยวิธี PQF กับค่ากระแสสัมภพเดย์ (i_C) จากวงจรกรองกำลังแอกทีฟแบบขาน และได้กำหนดให้อาต์พุตของตัวควบคุมพีไอเป็นค่าแรงดันอ้างอิง (U^*) โดยแรงดันดังกล่าวจะถูกนำไปใช้ร่วมกับเทคนิคการสวิตช์แบบ PWM (J. Zala, M. Desai, K. Bhayani, et al., 2019) เพื่อทำการสวิตช์อุปกรณ์ IGBT ของวงจรกรองกำลังแอกทีฟแบบขานต่อไป

สำหรับการออกแบบค่าพารามิเตอร์ของตัวควบคุมพีไอจะใช้วิธีการประมาณโดยการเปรียบเทียบสัมประสิทธิ์ของสมการฟังก์ชันถ่ายโอนวงปิด (closed-loop transfer function) ของบล็อกไดอะแกรมในรูปที่ 4.4 ซึ่งสามารถแสดงได้ดังสมการที่ (4.5) กับพจน์พหุนามลักษณะเฉพาะของฟังก์ชันถ่ายโอนอันดับสองมาตรฐานดังแสดงในสมการที่ (4.6) จากการเปรียบเทียบสัมประสิทธิ์จะได้สมการคำนวณหาค่า K_{Pi} และ K_L ดังแสดงในสมการที่ (4.7) และ (4.8) ตามลำดับ

$$\frac{i_C}{i_C^*} = \frac{\left(\frac{K_{Pi}s + K_L}{L_f} \right)}{s^2 + \left(\frac{K_{Pi}}{L_f} \right)s + \frac{K_L}{L_f}} \quad (4.5)$$

$$G(s) = \frac{\omega_n^2}{s^2 + 2\zeta s\omega_n + \omega_n^2} \quad (4.6)$$

$$K_{Pi} = 2\zeta_i \omega_{ni} L_f \quad (4.7)$$

$$K_L = \omega_{ni}^2 L_f \quad (4.8)$$

โดยที่ ζ , คือ อัตราการหน่วง (damping ratio) ของการควบคุมกระแสสัมภพเดย์ โดยงานวิจัยวิทยานิพนธ์นี้กำหนดให้มีค่าเท่ากับ 0.707 และ ω_{ni} คือ ค่าความถี่ธรรมชาติ (natural frequency) ของการควบคุมกระแสสัมภพเดย์ เนื่องจากงานวิจัยวิทยานิพนธ์นี้พิจารณาจำจัด荷าร์มอนิกอันดับสูงสุดที่อันดับที่ 50 ซึ่งมีความถี่เท่ากับ 3,000 Hz จึงกำหนดให้ ω_{ni} มีค่าเท่ากับ $2\pi \times 3,000 \text{ rad/s}$ สำหรับค่า L_f จะมีค่าเท่ากับ 0.15 mH (ผลการออกแบบในหัวข้อที่ 4.3) จากค่าพารามิเตอร์ทั้งหมด

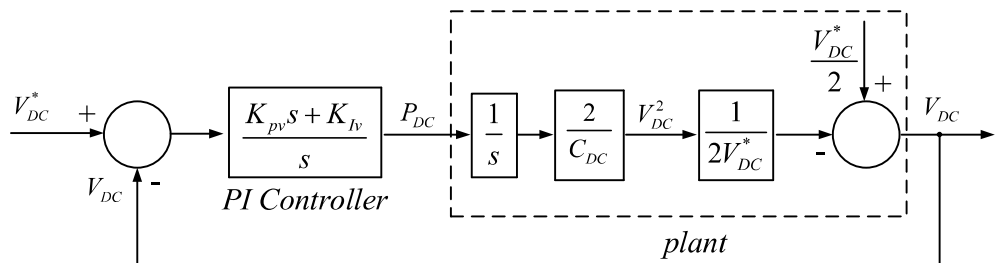
ที่กล่าวมาในข้างต้นสามารถคำนวณหาค่า K_{pi} ได้เท่ากับ 4 และค่า K_{Ii} ได้เท่ากับ 53,300 แสดงรายละเอียดการคำนวณได้ดังนี้

$$K_{pi} = 2\zeta_i \omega_{ni} L_f = 2 \times 0.707 \times 2\pi \times 3000 \times 0.00015 = 4$$

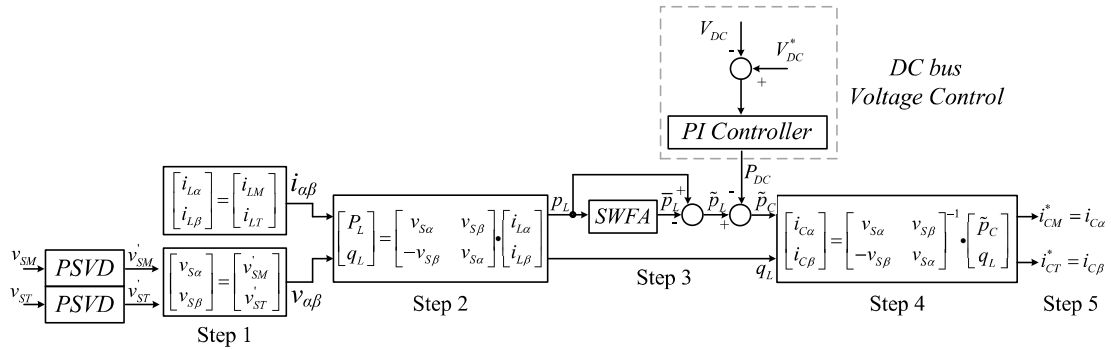
$$K_{Ii} = \omega_{ni}^2 L_f = (2\pi \times 3,000)^2 \times 0.00015 = 53,300$$

4.6 การออกแบบระบบควบคุมแรงดันบัสไฟตรง

การออกแบบระบบควบคุมแรงดันบัสไฟตรงด้วยตัวควบคุมพีไอสามารถแสดงงบล็อกได้ดังรูปที่ 4.5 จากรูปอินพุตที่ลูกปืนให้กับตัวควบคุมพีไอและพลาต์ของระบบ คือ ผลต่างของค่าแรงดันอ้างอิง (V_{DC}^*) กับค่าแรงดันแทคคร้อมตัวเก็บประจุ (V_{DC}) และได้กำหนดให้เอตพุตของตัวควบคุมพีไอเป็นค่ากำลังไฟฟ้ากระแสตรง (P_{DC}) โดยกำลังไฟฟ้าดังกล่าวจะถูกนำไปหักลบกับค่าองค์ประกอบหารมอนิกของกำลังไฟฟ้าแยกที่พีไอลด (\tilde{p}_L) เพื่อคำนวณค่ากำลังไฟฟ้าสำหรับการชดเชย (\tilde{p}_C) สำหรับนำไปใช้คำนวณในขั้นตอนที่ 4 ของคำนวณตรวจจับหารมอนิกด้วยวิธี PQF กรณีพิจารณาผลกระทบของระบบควบคุมแรงดันบัสไฟตรง ดังแสดงในรูปที่ 4.6



รูปที่ 4.5 บล็อกไดอะแกรมระบบควบคุมแรงดันบัสไฟตรงด้วยตัวควบคุมพีไอ



รูปที่ 4.6 การควบคุมแรงดันบัสไฟตรงที่เขื่อมต่อภายในการคำนวณตรวจสอบจับ荷าร์มอนิกด้วยวิธี PQF

สำหรับการออกแบบค่าพารามิเตอร์ของระบบควบคุมแรงดันบัสไฟตรงจะใช้วิธีการประมาณ เช่นเดียวกับการออกแบบระบบควบคุมกระแสสัมภาระ โดยพึงกշันการถ่ายโอนแบบวงปิดของ บล็อกไดอะแกรมระบบควบคุมแรงดันบัสไฟตรงด้วยตัวควบคุมพีโอดังรูปที่ 4.5 สามารถแสดงดัง สมการที่ (4.9) และเมื่อทำการเปรียบเทียบสัมประสิทธิ์ของสมการดังกล่าวกับพจน์พหุนาม ลักษณะเฉพาะของพึงกษันถ่ายโอนอันดันสองมาตรฐานดังแสดงในสมการที่ (4.6) จะสามารถ คำนวณหาค่า K_{Pv} และ K_{Iv} ได้ดังสมการที่ (4.10) และ (4.11) ตามลำดับ

$$\frac{V_{DC}}{V_{DC}^*} = \frac{1}{2} \frac{s^2 + \frac{2K_{Pv}s}{C_{DC}V_{DC}^*} + \frac{2K_{Iv}}{C_{DC}V_{DC}^*}}{s^2 + \frac{K_{Pv}s}{C_{DC}V_{DC}^*} + \frac{K_{Iv}}{C_{DC}V_{DC}^*}} \quad (4.9)$$

$$K_{Pv} = 2\zeta_v \omega_{nv} C_{DC} V_{DC}^* \quad (4.10)$$

$$K_{Iv} = \omega_{nv}^2 C_{DC} V_{DC}^* \quad (4.11)$$

โดยที่ ζ_v คือ อัตราการหน่วงของการควบคุมแรงดันซึ่งกำหนดให้มีค่าเท่ากับ 0.707 และ ω_{nv} คือ ค่าความถี่ธรรมชาติของการควบคุมแรงดันบัสไฟตรงโดยกำหนดให้มีค่าเท่ากับ $\frac{4}{T_s \zeta}$ เมื่อพิจารณาให้ค่าผิดพลาดในสถานะคงตัวมี (e_{ss}) ค่าเท่ากับ $\pm 2\%$ โดย T_s คือ ช่วงเวลาเข้าที่ (settling time) กำหนดให้มีค่าเท่ากับ 0.05 s สำหรับค่า V_{DC}^* และ C_{DC} จะมีค่าเท่ากับ 1,700 V และ 80 mF ตามลำดับ (ผลการออกแบบในหัวข้อที่ 4.3 และ 4.4 ตามลำดับ) จากค่าพารามิเตอร์

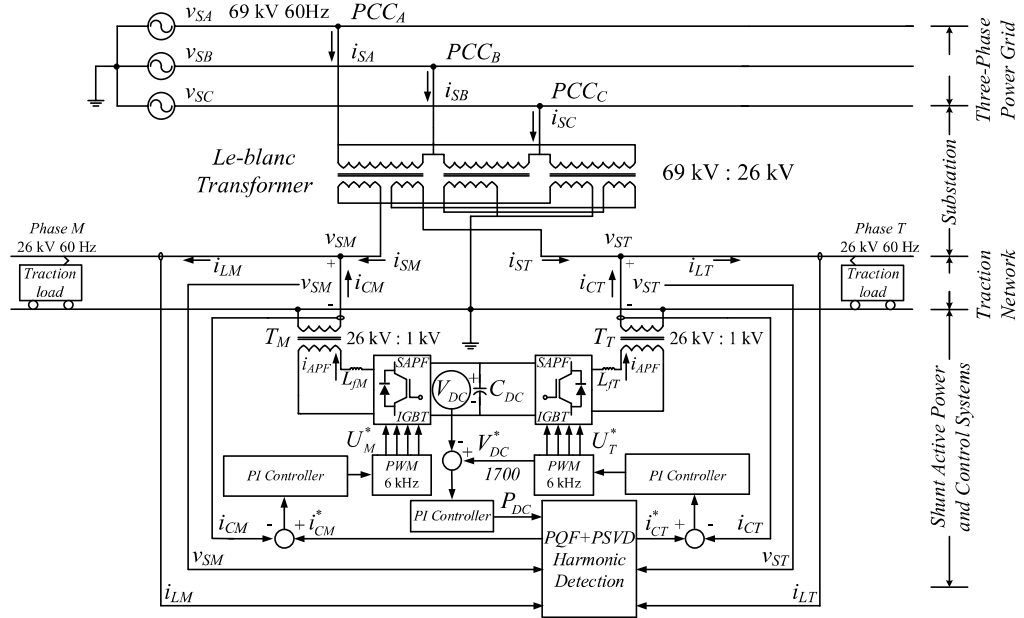
ทั้งหมดที่กล่าวมาในข้างต้นสามารถคำนวณหาค่า K_{Pv} ได้เท่ากับ 21,760 และค่า K_{Iv} ได้เท่ากับ 1,741,325.88 แสดงรายละเอียดการคำนวณได้ดังนี้

$$K_{Pv} = 2\zeta_v \omega_{nv} C_{DC} V_{DC}^* = \frac{8\zeta_v C_{DC} V_{DC}^*}{T_s \zeta_v} = \frac{8 \times 80 \times 10^{-3} \times 1,700}{0.05} = 21,760$$

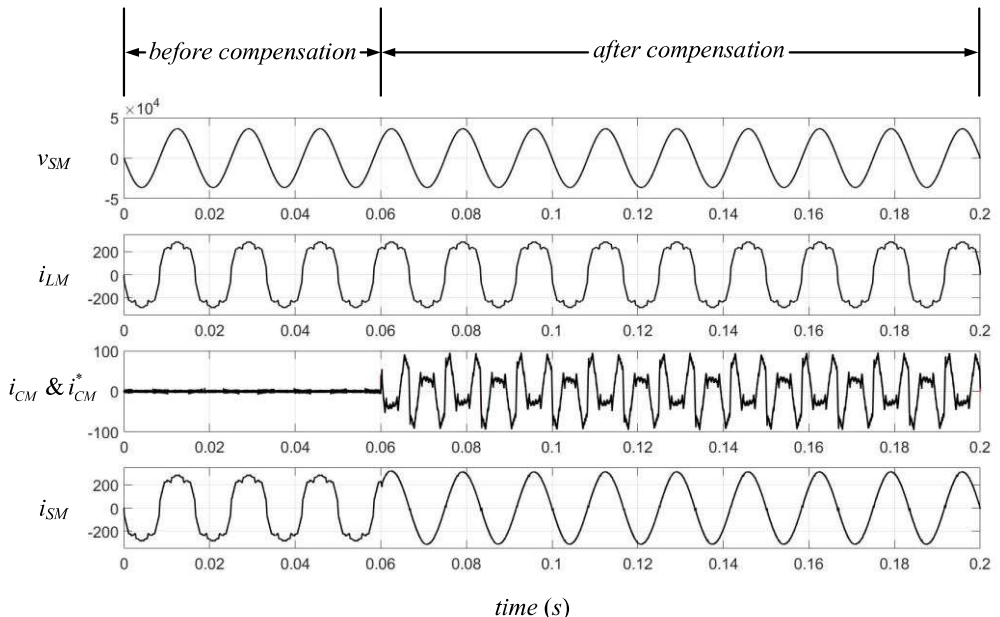
$$K_{Iv} = \omega_{nv}^2 C_{DC} V_{DC}^* = \left(\frac{4}{T_s \zeta_v} \right)^2 C_{DC} V_{DC}^* = \left(\frac{4}{0.05 \times 0.707} \right)^2 \times 80 \times 10^{-3} \times 1,700 = 1,741,325.88$$

4.7 ผลการจำลองสถานการณ์การกำจัดยา้มอนิกในระบบรางไฟฟ้ากระแสลับแบบเฟสร่วม

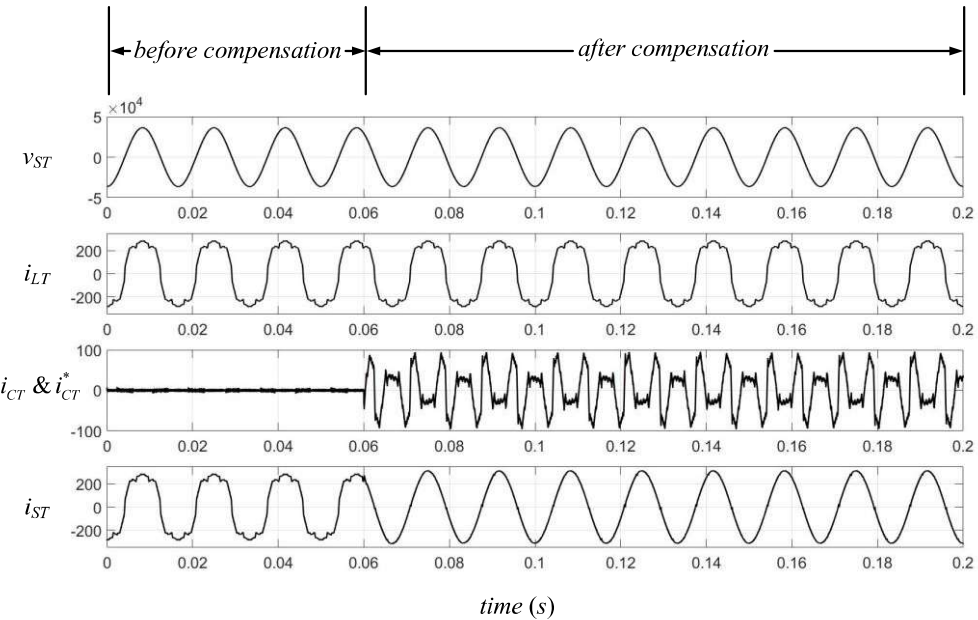
สำหรับระบบจำลองสถานการณ์การกำจัดยา้มอนิกเพื่อทดสอบสมรรถนะของวงจรกรองกำลังເອກທີ່ຟແບບຂານ ແລະ ระบบควบคุมດ້ວຍຕັວຄວບຄຸມພື້ນຖານທີ່ໄດ້ນຳເສັນອກອອກແບບສາມາດ แสดงໄດ້ดังຮູບທີ່ 4.7 ໂດຍໃນการจำลองสถานการณ์การกำจัดยา้มอนิกຈະໃຊ້ການคำนວณຕຽບຈັບยา้มอนิกດ້ວຍວິທີ PQF ສໍາຫຼັບຜົນການจำลองสถานการณ์การกำจัดยา้มอนิกຂອງເຟ M ແລະ T ທີ່ຮັບປະກາດການສອງເຟສາມາດແສດງໄດ້ດังຮູບທີ່ 4.8 ແລະ 4.9 ຕາມລຳດັບເຟຜົນການເປົ້າຍົງທີ່ມີກະແສ່ດໜັບ (i_C) ແລະ ກະແສ່ອ້າງອີງ (i_C^*) ທີ່ໄດ້ຈາກການคำນວณຕຽບຈັບยา้มอนิกດ້ວຍວິທີ PQF ຂອງເຟ M ແລະ T ສາມາດແສດງໄດ້ດังຮູບທີ່ 4.10 ແລະ 4.11 ຕາມລຳດັບເຟ ແລະ ຜົນການจำลองสถานการณ์การกำจัดยา้มอนิกຂອງເຟ A B ແລະ C ທີ່ຮັບປະກາດການສາມາເຟແສດງໄດ້ດังຮູບທີ່ 4.12



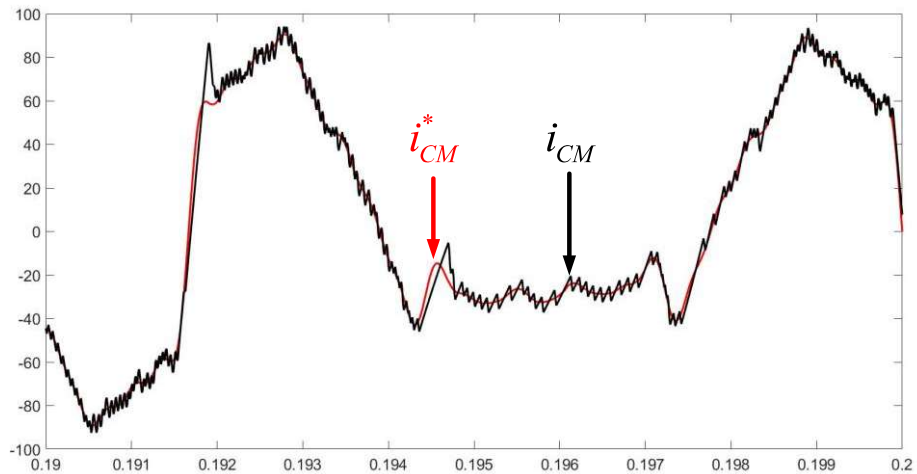
รูปที่ 4.7 ระบบกำจัดขาร์มอนิกด้วยวงจรกรองกำลังแยกทีฟแบบบานานในระบบรางไฟฟ้า



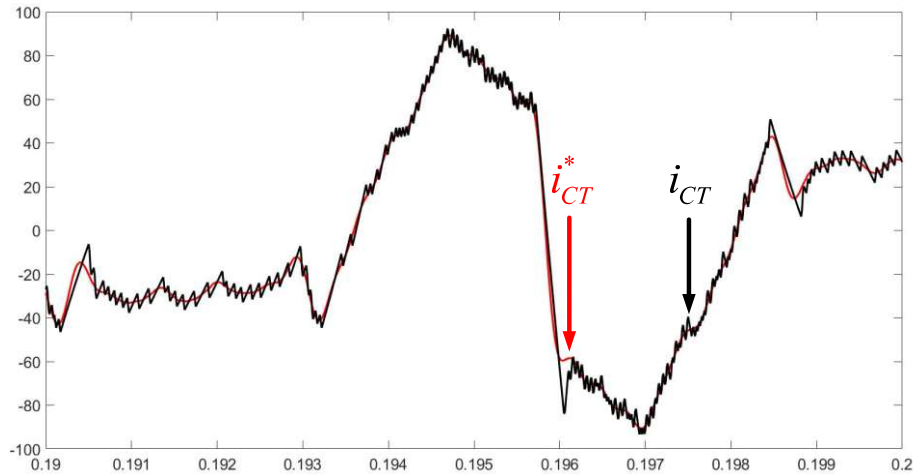
รูปที่ 4.8 ผลการจำลองสถานการณ์กำจัดขาร์มอนิกที่ระบบไฟฟ้ากำลังสองเฟสของเฟส M



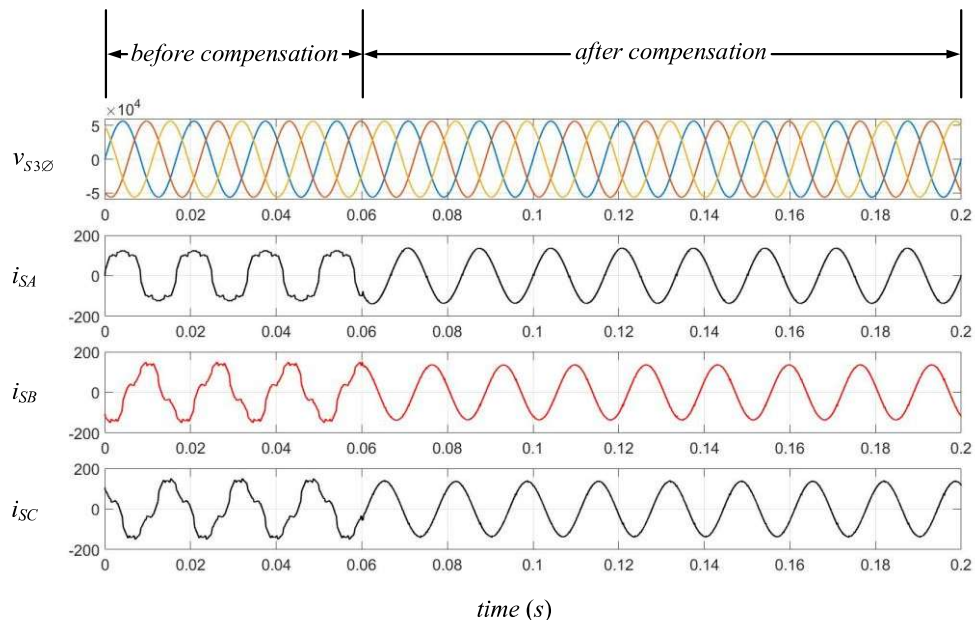
รูปที่ 4.9 ผลการจำลองสถานการณ์กำจัดฮาร์มอนิกที่ระบบไฟฟ้ากำลังสองเฟส T



รูปที่ 4.10 ผลการเปรียบเทียบ i_{CM} และ i_{CM}^*



รูปที่ 4.11 ผลการเปรียบเทียบ i_{CT} และ i_{CT}^*



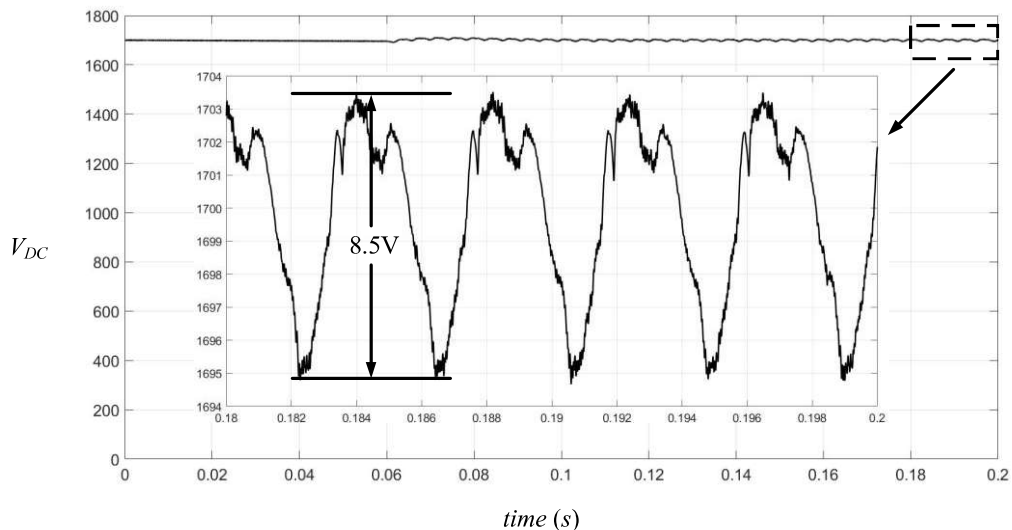
รูปที่ 4.12 ผลการจำลองสถานการณ์กำจัดชาร์มอนิกที่ระบบไฟฟ้ากำลังสามเฟส (เฟส A B และ C)

จากผลการจำลองสถานการณ์การกำจัดฮาร์มอนิกในระบบรางไฟฟ้าของเฟส M และ T ดังรูปที่ 4.7 และ 4.8 พบว่า มีลักษณะเช่นเดียวกัน คือ ในช่วงเวลาที่ 0 ถึง 0.06 วินาทีหรือช่วงก่อนการชดเชย (before compensation) กระแสที่เหลือจ่ายทั้งสองเฟส (i_{SM}, i_{ST}) มีลักษณะสัญญาณผิดเพี้ยนไม่เป็นรูปไซน์เหมือนกับกระแสโคลต (i_{LM}, i_{LT}) ซึ่งวัดค่า %THD ของกระแสที่เหลือจ่ายได้เท่ากับ 22.16% เท่ากันทั้งสองเฟส ต่อมาในช่วงเวลา 0.06 วินาทีเป็นต้นไป หรือช่วงภายหลังการชดเชย (after compensation) เมื่อวงจรกรองกำลังแยกทีฟแบบขนาดร่วมกับตัวควบคุมพีไอได้ทำการฉีดกระแสชดเชย (i_{CM}, i_{CT}) ที่มีลักษณะคล้ายตามกระแสอ้างอิง (i_{CM}^*, i_{CT}^*) ที่ได้จากการคำนวนตรวจสอบจับฮาร์มอนิกด้วยวิธี PQF ดังแสดงรูปที่ 4.10 และ 4.11 ส่งผลให้กระแส i_{SM} และ i_{ST} มีลักษณะรูปสัญญาณกลับมาเป็นรูปไซน์ และสามารถวัดค่า %THD ของกระแสที่เหลือจ่ายภายหลังการชดเชยของเฟส M และ T ได้เท่ากับ 1.83% และ 1.82% ตามลำดับเฟส นอกจากนี้ผลจำลองสถานการณ์การกำจัดฮาร์มอนิกในระบบรางไฟฟ้าที่ระบบไฟฟ้ากำลังสามเฟส ดังรูปที่ 4.12 พบว่าในช่วงเวลาที่ 0 ถึง 0.06 วินาทีหรือช่วงก่อนการชดเชย (before compensation) กระแสที่เหลือจ่ายของระบบไฟฟ้ากำลังสามเฟสซึ่งประกอบไปด้วย i_{SA}, i_{SB} และ i_{SC} มีลักษณะรูปสัญญาณที่ผิดเพี้ยนไม่เป็นรูปไซน์ โดยวัดค่า %THD เท่ากับ 22.14% เท่ากันทุกเฟส ต่อมาตั้งแต่ช่วงเวลา 0.06 วินาทีเป็นต้นไป เมื่อวงจรกรองกำลังแยกทีฟแบบขนาดฉีดกระแสชดเชยเพื่อกำจัดฮาร์มอนิกที่ระบบไฟฟ้ากำลังสองเฟสจะส่งผลให้ i_{SA}, i_{SB} และ i_{SC} มีลักษณะรูปสัญญาณกลับมาเป็นไซน์ โดยวัดค่า %THD ของกระแสที่เหลือจ่ายภายหลังการชดเชยได้เท่ากับ 1.83%, 1.81% และ 1.84% ตามลำดับเฟส ซึ่งสามารถลดรูปผลค่า %THD ทั้งหมดได้จากตารางที่ 4.1

ตารางที่ 4.1 ผลสรุปค่า %THD ของกระแสที่เหลือจ่ายภายหลังการชดเชยของการทดสอบการกำจัดฮาร์มอนิกด้วยวงจรกรองกำลังแยกทีฟแบบขนาดในระบบรางไฟฟ้า

สถานะการชดเชย	ค่า %THD ของกระแสที่เหลือจ่าย						
	ระบบไฟฟ้ากำลังสองเฟส			ระบบไฟฟ้ากำลังสามเฟส			
	i_{SM}	i_{ST}	เฉลี่ย	i_{SA}	i_{SB}	i_{SC}	เฉลี่ย
ก่อนการชดเชย	22.16	22.16	22.16	22.14	22.14	22.14	22.14
หลังการชดเชย	1.83	1.82	1.83	1.83	1.81	1.84	1.83

สำหรับผลการจำลองสถานการณ์การควบคุมแรงดันบัสไฟตรง (V_{DC}) สามารถแสดงได้ดังรูปที่ 4.13 จากรูปดังกล่าวพบว่าระบบควบคุมแรงดันบัสไฟตรงด้วยตัวควบคุมพีไอมีสมรรถนะในการควบคุมแรงดันบัสไฟตรงที่ดี สามารถคงค่าแรงดันบัสไฟตรงไว้ได้เท่ากับ 1,700 V ตามที่ได้ออกแบบไว้ และมีการกระเพื่อมของแรงดันบัสไฟตรงเท่ากับ 8.5 V โดยค่าการกระเพื่อมของแรงดันบัสไฟตรงมีค่าไม่เกิน 2% ของค่า V_{DC} ($\Delta V_{DC} = 34 V$) ซึ่งเป็นค่าที่งานวิจัยวิทยานิพนธ์นี้ยอมรับได้ (กำหนดไว้ในหัวข้อที่ 4.4)



รูปที่ 4.13 ผลการจำลองสถานการณ์การควบคุมแรงดันบัสไฟตรงด้วยตัวควบคุมพีไอ

จากการจำลองสถานการณ์การกำจัด荷าร์มอนิกทั้งหมดที่นำเสนอในข้างต้นแสดงให้เห็นว่าค่าพารามิเตอร์ของวงจรกรองกำลังแยกทีฟแบบขนาดและระบบควบคุมด้วยตัวควบคุมพีไอที่ได้นำเสนอการออกแบบมีค่าที่เหมาะสมกับการกำจัด荷าร์มอนิกในระบบรางไฟฟ้าที่พิจารณา ส่งผลให้วงจรกรองกำลังแยกทีฟแบบขนาดสามารถกำจัด荷าร์มอนิกที่เกิดขึ้นในระบบรางไฟฟ้าได้อย่างมีประสิทธิผล โดยค่า %THD ของกระแสที่แหล่งจ่ายภายหลังการลดเชยหักทั้งที่ระบบไฟฟ้ากำลังสองเฟส และที่ระบบไฟฟ้ากำลังสามเฟสมีค่าลดลงและอยู่ภายใต้กรอบมาตรฐาน IEEE Std. 519-2022

4.8 สรุป

ในบทนี้ได้นำเสนอโครงสร้างของวงจรกรองกำลังแยกทีฟแบบขนาด การออกแบบค่าพารามิเตอร์ของวงจรกรองกำลังแยกทีฟแบบขนาดซึ่งประกอบด้วยค่า L_f , C_{DC} และ V_{DC} การออกแบบค่าพารามิเตอร์ของระบบควบคุมกระแสเชดเชยด้วยตัวควบคุมพีไอ (K_{Pi}, K_{Ii}) และระบบควบคุมแรงดันบัสไฟตรงด้วยตัวควบคุมพีไอ (K_{Pv}, K_{Iv}) รวมไปถึงการจำลองสถานการณ์การกำจัด荷าร์มอนิกของวงจรกรอง

กำลังแอกทีฟแบบขنان และระบบควบคุมที่ได้นำเสนอการออกแบบ จากผลการจำลองสถานการณ์ พบว่า วงจรกรองกำลังแอกทีฟแบบขنان และระบบควบคุมที่ได้นำเสนอการอุปกรณ์ สามารถทำงานร่วมกันในการฉีดกระแสชดเชยกำจัด harmonic อนิจในระบบรางไฟฟ้าที่พิจารณาได้อย่างมีประสิทธิผล ส่งผลให้กระแสที่ภายนอกห้องการชดเชยมีลักษณะกลับมาเป็นรูปไซน์ทั้งที่ระบบไฟฟ้ากำลังสองเฟส และที่ระบบไฟฟ้ากำลังสามเฟส โดยค่า %THD ของกระแสที่เหลือจ่ายมีค่าลดลงอยู่ประมาณ 10% มาตรฐาน IEEE Std. 519-2022 ซึ่งแสดงให้เห็นว่าค่าพารามิเตอร์ของวงจรกรองกำลังแอกทีฟแบบขنان และระบบควบคุมที่ออกแบบด้วยวิธีที่นำเสนอ มีค่าที่เหมาะสมกับระบบรางไฟฟ้าที่พิจารณา